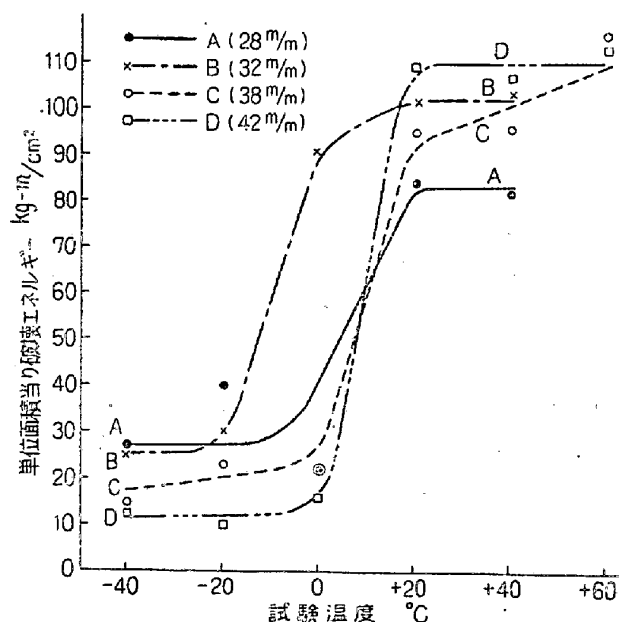


多少上昇している。第1表のカーンの T_{rs} (剪断破面率遷移温度)を見ると、チャージ2、チャージ3では板厚が28mmから42mmに厚くなるにつれて約20→35°C, 15→30°Cと大きく上昇している。このカーンの T_{rs} とVノツチシャルピーの Tr_{15} との間に関係がある事が書かれているが、28~42mm板厚範囲のセミキルドの3チャージのデーターでは $Tr_{15} = -45 + 0.45 T_{rs}$ となる。従つてこの板厚範囲での Tr_{15} を求めればカーンの T_{rs} は判定が出来る。実用上Vノツチシャルピーは材質効果のみを示し、寸度効果があらわれていないので材質寸度、合成効果を示すカーンの試験が必要となるが、Vノツチシャルピー試験の方が容易に行えるので、ある程度多数のチャージの色々の板厚についてあらかじめ Tr_{15} と T_{rs} の関係を求めて置けば、試験はVノツチシャルピーのみでよいことになる。但し衝撃試験は値がばらつくので信頼出来ぬ様な値が出る事がある。



第3図 Austrian 曲げ試験に於ける破壊(或は吸收)エネルギー温度曲線 charge 1

次にレハイのビード曲げ試験であるが、この試験はシャルピー・テストと似て温度に対する諸変化が鋭敏でない。その内では剪断破面率が比較的鋭敏である。吸収エネルギー、遷移破面、最大荷重時の曲げ角度等の遷移温度を求めたが、板厚による温度変化が大きいようである。この試験は溶着ビードをのせ直角に2mmのノツチを入れ、試験するので、その結果には溶接の影響が含まれ、溶接性と切欠脆性の関係を結びつける適当な試験と考えられる。リーハイ曲げとVノツチシャルピーの遷移温度の間には或る程度の関係が認められる。即ち例え

ば両者の Tr_E (吸収エネルギー遷移温度)の間には(V ノツチ Tr_E) = $-5 + 0.25 \times (\text{リーハイ } Tr_E)$ という関係式が成立つ。最後にオーストリアン曲げ試験であるが、この試験はオーストリアン標準規格により、板厚に対する曲げ角度が規定されて居り、破壊形状、破壊進行状況、破断組織、最小曲り角度、等により溶接性を決定する。いわば規格といいうものが定つてるので溶接性の判定につかいやすい、この試験の結果3チャージとも規格に悠悠と合格した。チャージ1についての破壊エネルギー温度曲線の関係を第3図に示す。この試験はピードをのせたまま破断するので溶接の影響を含んでおり溶接性の試験としてはよい試験であるが、試験片製作、試験方法が甚だ手数を要し、工業試験法としては困難である。Vノツチシャルピー試験値との或る程度の相関もあるので、特別にその試験結果を必要としない場合は、Vノツチシャルピー試験で傾向は判定出来る。

尚、リーハイとオーストリアン試験との関連をつけるために圧延板厚のままのもの及び19mmに機械削りした板厚のものについてリーハイの曲げ試験を行つた。その結果については省略する。

(31) 熔接に適する高抗張力鋼の試作研究

(Study on the Trial Manufacture of High Tensile Steel suitable for Welding.)

日本钢管 K.K 川崎製鐵所 技術研究所

工 山下伸六・○工 堀川一男

I. 緒 言

最近船舶、車輪等の方面から溶接に適する高抗張力鋼の要望が起り、日本造船研究協会が昭和28年度に於ける重要課題として採上げる等の情勢となつたので、当社としては1昨年より特に溶接性に重点を置いた低合金高抗張力鋼の研究を開始した。昨年3月から4月にかけて塩基性平炉により3ch.の試作を行い、各種の製品に圧延して機械的性質、溶接性、加工性、鍛金性等の諸性質を調査した。一応成績も判明したので次に概要を報告する。(詳細な図及び表は講演会場で発表する予定であり、本稿では概要だけを記述する。)

II. 試作目標

製品の機械的性質の目標としては、圧延儘の状態で降伏点32kg/mm²以上、引張強さ52kg/mm²以上、伸び20%以上とし、この値を満足するように化学成分の

目標を第1表の如くに定めた。熔接性の点からCは0.20%以下に抑え、Mn及びSiによって強度を補うことにしたが、Mnも熔接性を考慮して最高を1.40%に抑えることにした。AはSi 0.6%を狙つたSi-Mn鋼であり、BはSi 0.3%を狙つたMn鋼である。

第1表 化學成分の目標 (%)

	C	Si	Mn	P	S
A	0.15~0.20	0.50~0.70	0.90~1.20	<0.040	<0.040
B	0.15~0.20	0.20~0.40	1.10~1.40	<0.040	<0.040

試作製品の種類は次の如くである。

- (i) 厚鋼板: 20, 12, 7, 6 mm 厚
- (ii) 薄鋼板: 2.3 mm 厚
- (iii) 丸棒鋼: 22, 19 mm 径
- (iv) 山形鋼: 90×90×10, 75×75×9, 75×100×10 mm

III. 製鋼及び圧延作業

塩基性平炉によつて成分Aのもの2熔解と成分Bのもの1熔解合計3熔解を行つた。鋼塊は山形鋼、棒鋼及び薄鋼板用として1t 角型を、厚鋼板用として2t 及び5t 築平型を何れも下注押湯法によつて製造した。取鍋分析値は第2表の通りであつて何れも目標に適合しており、製鋼上特に困難は認められなかつた。1t 鋼塊は川崎製鉄所で山形鋼、丸棒鋼及びシートバーに圧延し、2t 及び5t 鋼塊は鶴見製鉄所で厚鋼板に圧延したが作業上特に困難は感じなかつた。

第2表 試作 ch. の取鍋分析値 (%)

	鋼番	C	Si	Mn	P	S	Cu
A	1162	0.16	0.56	1.06	0.017	0.016	0.13
	1184	0.19	0.60	1.16	0.024	0.015	0.13
B	1931	0.17	0.29	1.32	0.019	0.016	0.15

試作した厚鋼板及び山形鋼から試料を採取して製品分析を行つた結果、鋼塊位置及び鋼塊別に因る差異は分析誤差の範囲内であつて成分の偏析は殆んど認められなかつた。

IV. 機械的性質

試作した各種製品の機械的性質を代表例を以て示すと第3表の通りであつて、全部目標に合格した。曲げ試験の結果も疵を発生したものはなかつた。厚鋼板について各位置から試料を採取して試験した結果、鋼塊頭部と底

第3表 試作製品の機械的成績の代表例
(圧延方向の値)

種類	寸法 mm	鋼番	引張試験				曲げ 試験 180°C
			降伏點 kg/mm ²	引張強さ kg/mm ²	伸び %	降伏比 %	
厚 鋼 板	20	1162	35.1	55.2	29.5	64	良々
		1184	38.4	60.1	22.0	64	〃
		1931	32.6	53.0	26.5	62	〃
薄 鋼 板	12	1162	37.2	53.9	26.5	69	良々
		1184	39.8	61.2	24.0	65	〃
		1931	36.4	55.3	26.0	66	〃
丸 棒 鋼	2.3(圧延 儘)	1162	41.7	56.2	32.0	74	良々
		1931	42.0	55.1	33.0	76	〃
山 形 鋼	2.3(焼鉈)	1162	37.3	48.6	33.0	76	良々
		1931	35.5	47.2	37.0	75	〃
丸 棒 鋼	19	1162	38.4	53.8	26.3	71	良々
		1931	41.1	55.4	27.6	74	〃
山 形 鋼	75×75×9	1162	40.2	54.0	26.5	74	良々
		1184	40.6	58.6	27.0	69	〃

(註) 試験片の形状及び試験方法はJIS規格による。

部の引張強さの差及び圧延方向に対する縦横の引張強さの差は1kg/mm²以内であつて材質は均一であることが判つた。又板厚による機械的性質の差も6~20mm厚の範囲では認められず、鋼塊から直接圧延したものも、一度スラブにしてから圧延したものも相異がなかつた。

薄鋼板の圧延儘の状態は引張強さは厚鋼板と大差はないが降伏点が約5kg/mm²高くなつてゐる。焼鉈すると降伏点、引張強さは若干低下するが、尙相当高い強度を保つてゐる。又丸棒鋼及び山形鋼の圧延儘の状態に於ける機械的性質は鋼板の成績に比較して降伏点が高目であった。全体的にみてSiの高いAの成分の方がSiの低いBの成分に比較して降伏比がやゝ高目である。

V. 組織及び結晶粒度

製品の顕微鏡組織はフェライト及びバーライトから成る均齊微細な組織を示し、フェライトの粒度はASTM No. 8以上の細粒であり、オーステナイト粒度はNo. 5以上の所謂細粒鋼となつてゐた。これは熔接性向上のため、熔製時Alを添加して粒度調整を行つたためである。

VI. 熔接性

(1) V型衝合熔接々手の機械的性質

12mm及び20mm厚鋼板についてイルメナイト系及び低水素系の熔接棒を用いて熔接を行つたが、熔接操作

第4表 V型衝合接合の機械的性質 (12mm厚鋼板)

鋼番	熔接棒	引張試験				曲げ試験 r = 2t 180°
		降伏點 kg/mm ²	引張強さ kg/mm ²	伸長率 (G.L. = 200) %	切斷位置	
1184	LB 26 (低水素系軟鋼棒) FL 86 (低水素系高抗張力鋼棒)	39.8 40.6	59.5 59.2	24.0 22.3	母材	良
1931	LB 26 (低水素系軟鋼棒) FL 86 (低水素系高抗張力鋼棒)	36.4 36.5	54.1 54.8	22.0 22.0	"	"

第5表 試作鋼板のVノッチシャルピー試験の遷移温度 (Tr. 15)

鋼番	1162		1184				1931			
	板厚 mm	20	20	12	20	12	T	B	T	B
遷移温度 °C	-6.5	-13.0	-17.0	-10.5	-22.0	-21.0	-14.0	-17.5	-32.5	-36.5

は普通鋼の場合と比較して何等困難は認められなかつた。接合の引張試験を行つた結果は、1例を第4表に示した通り良好であり、各種の曲げ試験の結果も良好であつた。

(2) 熔接部附近の組織と硬度分布

12mm厚鋼板についてV型衝合及びT型隅肉熔接を行い、熔接部附近のマクロ組織、顕微鏡組織及び硬度分布を調査した。熔込みに良好で欠陥が認められず、又組織的にはマルテンサイトの出現なく熱影響部の最高硬度もビックカース220程度であつて著しい硬化は認められなかつた。

(3) 亀裂性試験成績

20mm厚鋼板について鉄道技術研究所に依頼して行つた亀裂性試験の結果は、引張強さ50kg/mm²台の低水素系熔接棒を使用すれば亀裂発生の懼れのないことが判明した。

(4) 低温衝撃試験成績

厚鋼板について-50°～+20°Cの範囲でVノッチシャルピー衝撃試験を行つた結果、遷移温度Tr. 15(吸收エネルギーが15ft-lbに相当する温度)は第5表の通りであつた。リムド鋼に比較して著しく良好であり、普通キルド鋼に対しても遜色がない。

(5) オーストリア試験成績

20mm厚鋼板について運輸技術研究所に依頼して行つた試験成績は次の如くであつた。圧延方向から350×150mmの試片を切り出し、中央部縦方向に掘つた3mmの溝にビードを一層盛つて、ビード面を張力側にして-60°～

+20°Cの各温度で曲げ試験を行つた。その結果第6表の如き遷移温度Tr.θ(亀裂発生角度が90°に相当する温度)が得られ、何れも良好であつたが、特に低水素系の熔接棒を使用した場合に優秀な成績が得られた。

第6表 試作鋼板のオーストリア試験の遷移温度 (Tr.θ) (20mm厚鋼板、鋼塊頭部側)

鋼番	1162		1931	
	熔接棒	LB 26 (低水素系 軟鋼棒)	B 17 (イルメ ナイト系 軟鋼棒)	LB 26 (低水素系 軟鋼棒)
遷移温度 °C	-60以下	-46	-50以下	-25

VII. 加工性

(1) 折畠試験成績

山形鋼についてBureau Veritasの規格による折畠試験を行つた結果、何れも割疵を発生せず良好であつた。

(2) 打抜機による穿孔試験成績

山形鋼について軽軌条の当金穿孔機で穿孔試験を行つた結果、破れ等の欠陥を生ずることなく満足に穿孔することが出来た。

(3) 棒鋼の締圧及び打展試験成績

22mm丸棒鋼について締圧及び打展試験を行つたが、殆んど疵を発生せず成績は良好であつた。

VIII. 鍍金性

試製した山形鋼について重鉛鍍金試験を行つた結果、

今回試製した抗張力鋼は酸洗時間、亜鉛附着量、均一性等何れも普通鋼に比較して遜色なく、鍍金層の組織は良好であり剥離性は普通鋼より寧ろ優れていた。

IX. 結 言

今回試作した高抗張力鋼は製鋼並びに圧延作業上何等の困難がなく材質も良好で特に熔接性が優秀であつた。

試験研究は未だ完全に終了してはいないが、以上の成績から推察して船舶、車輪、建築等各方面の要望を充分に満足させることが出来ると考える。

(32) β 線によるプリキ板の鍍錫量 測定装置に就て

(On the β -ray Thickness Gage for Tin Coating)

東洋鋼板株式會社 ○理 竹本國一・藤井昭明

I. 緒 言

プリキ板の鍍錫量に就いては JIS にも規定されており、プリキ板の品質上重要な要素で、品質管理上迅速、正確で而も無破壊の測定方法が望ましい。現在実施されている鍍錫量測定方法には

(a) 破壊的方法

プリキ板の数ヶ所より一定面積の試料を打ち抜き電解によつて錫を熔かし、その錫量を定める方法

(b) 無破壊的方法

(i) X線による方法

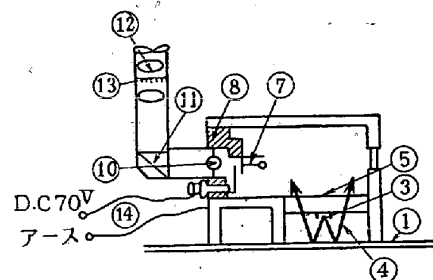
(ii) 磁気的方法

等があるが、それぞれ一長一短がある。筆者等は放射性同位元素より放射される β 線を金属に照射すれば、その後方散乱の量は原子番号と表面密度 (g/cm^2) によつて増加することを利用して次の二通りのプリキ板の鍍錫量を測定する装置を試作し現在現場コントロールに使用しているので報告する。

II. ローリツエン型鍍錫量測定装置

β 線をプリキ板の表面の一定面積 (径 4.5cm の円形) に投射すれば表面錫と地鉄によつて後方散乱される。表面錫を透過し、地鉄の全断面を透過し得ない様なエネルギーの β 線を用いれば、地鉄の厚さの影響なしに錫の厚さを測定出来る。 β 線源としては放射性同位元素 C^{14} (エネルギー 0.16 MeV, 半減期約 6,000 年) を用い装置は第 1 図の如くである。

③の C^{14} より放射される β 線はプリキ板①によつて④の如く後方に散乱され⑤のアルミ箱を通して電離室に入



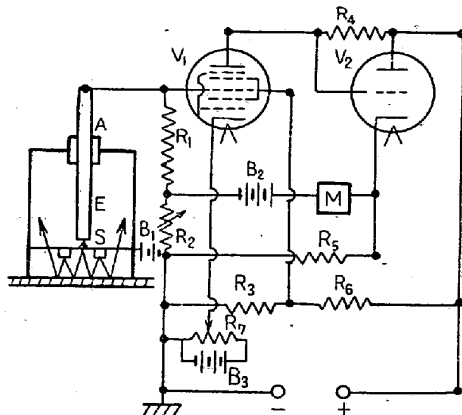
第 1 圖

つて室内の空気をイオン化する。予め約 70V の (+) に荷電せしめて開かせてある約 3μ の金メッキされた石英ファイバー (7) は (-) イオンを集め除々に閉ぢる。この閉ぢる速度を目盛付望遠鏡 (10, 11, 12, 13) とストップウオッチにて読み取る如くなつてゐる。⑧絶縁物、⑭チャージボタン。

この方法にて求め得た測定精度は $\pm 6\%$ 程度である。

III. 直讀式鍍錫量測定装置

電離函、エレクトロメーターチューブ、増巾器及びメーターを装置すれば鍍錫量を直読する様にすることが出来る。回路の概要は第 2 図の如くである。



第 2 圖

ソース C^{14} (S) よりの β 線はイオン函 (A) に入り空気をイオン化する。(+) イオンは電極 E に集まり (B₁) によつて約 200V の (-) 電圧がかかっている) 高抵抗 R₁ (約 $10^{10}\Omega$) を通してアースに流れる。R₁ の両端に生じた電圧をエレクトロメーターチューブ V₁ (6 BE 6 を使用、プレート、スクリーン電圧 10V, ヒーター電圧 3V にて動作) にて増巾し、後一段 V₂ (6 J 4) にて増巾してネガチップフィードバックを V₁ のグリットにかけ R₂ によつて感度を調節し得る如くなつてゐる。又 R₇ によつて零点調節を行う。M のマイクロアンメーターが鍍錫量を指示する。次に此の方法にて求め得た測定値と化学分析値